

## マサ土のせん断特性について

京都大学 工博 松尾新一郎  
 大阪工業大学 福田護  
 関西大学 理修 西田一彦

### 1. まえがき

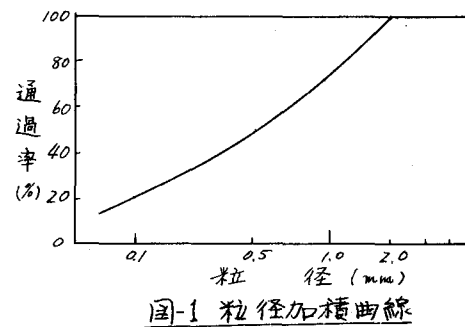
土のせん断強さは、クーロンの式  $S = C_f + G \tan \phi_f$  とし、 $C_f$  をそれぞれ破壊時の粘着力および摩擦角としている。したがって、 $C_f \tan \phi_f$  はひずみ量を無視したときにかくその土のもつ最大抵抗値の係数といふことである。けれども、マサ土の場合、このようにひずみ量を考慮に入れていない  $C_f \tan \phi_f$  を正しい値として採用してよいものか疑問に思われる。マサ土、とくに細いマサ土の三軸圧縮試験では、ほとんどの供試体が 15 回以上ひずみ量をよく破壊に達している。土質工学的な見地からすれば、このような大きないひずみ量以前の小さなひずみ量における抵抗値で、実質的な破壊を生じたとした方が適正のように考えられる。このような疑問を出発点として、ひずみの進行とともにもう粘着力と摩擦角の増加を主として追求するための実験を行った。実験試料としては、国-1 に示すような山岳岩の丸化したマサ土、すなわち、マサ土としては細かくコンシステンシーの大至方に属するものを使用した。実験結果にかなりのバラッキがみられ、修正したところも多數あるので、数量的などよりも傾向的なことを強調して報告する。

### 2. 解析方法

同一条件（含水比、間隙比）の二つの供試体について、側圧の異なる三軸圧縮試験を行、大場合、何々の同一ひずみ量をとると、国-1 に示すように各ひずみ量における中線を描くことができる。この中線の接線勾配が、その応力條件における摩擦角となり、また接線の直線延長のたて軸と交わる切片が粘着力となる。

つづいて、この中線から同一ひずみにおける中線の各勾配を測ることによって、ひずみの進行にともなう中の増加を知ることができる。マサ土の粘着力の値は、多数の実験を行ってもバラッキが大きく、正しい値を把はくすることは困難であり、またこのことと粘着力は  $C_f$  値にくらべ小さく余り期待できまいとするならば、 $C_f = 0$ （設計上）として安全側にとった方が実際的であるようと思われる。

つぎに、どれほどのひずみ量を実際上の破壊とみなすかといふ、標準の問題である。このこと正決める上には、将来さらに多数の実験および研究を進めて行かねばならないが、少なくともマサ土の三軸圧縮試験をした場合、設計値として供試体破壊値の  $\frac{1}{2}$  より小さい値をとすべきであるようと思われる。



国-1 粒径加積曲線

### 3. 実験方法

3-1 試料: 試料は、改修池田線花屋敷から採取した山灰内縫岩の风化したマサ土で、 $2.0\text{ mm}$  以上の粒子は取り除いた。粒径分布を図-1 に示す。

3-2 供試体: 供試体は、気乾状態にされたかく乱試料に水を加え長時間保管したのち、内壁がよくサビかれたモールド内に試料を入れ、ゆっくりと荷重をかけ不飽和を種々の間ゲキ比のものを作成した。また、供試体は直徑  $5\text{ cm}$ 、高さ  $1\text{ cm}$  で、均等に締固められていないかどうかを、数個の供試体をサンプリングして吟味した。

3-3 方法: 3軸圧縮試験機を用い、緩速ひずみ排気法(不飽和土のため)をとった。

### 4. 実験結果とその考察

図-2 に示す実験結果からさられるように、破壊時のせあおよび  $C_f$  の値は、含水比および間ゲキ比の変化に対して特別な関係は認められず、せあは  $33^\circ \sim 37^\circ$  程度、  $C_f$  は種々な値を示している。そこでここで、とくに注目すべきことは、同一間ゲキ比の不飽和土供試体において、含水比が異っていともせあの値に差異はみられず、ほど一定であるといふことである。

けれども、通常この結果とは逆に、マサ土は水に対する非常に敏感で、このことはマサ土の大きさや欠陥の一因として認識されている。したがって、実験結果と通常の認識とはかい反し一見矛盾していふように見える。けれども、実験結果をよくみるとこれは最終値(せあ)が違うないということがで、ひずみ量の変化に対する抵抗値は、含水比、間ゲキ比の程度に大きく影響を受けるので、順次説明を行って行く。図-3 は、応力-ひずみ曲線の一例である。このひずみ曲線から、同一ひずみ量のモールの円を描き、各ひずみの中綫を描くと図-4 のようになる。图からわかるように、破壊にいたるまでの各ひずみにおける中綫は、垂直応力が大きくなるほど

3軸圧縮試験による 花屋敷 B-口 (砂含まず)

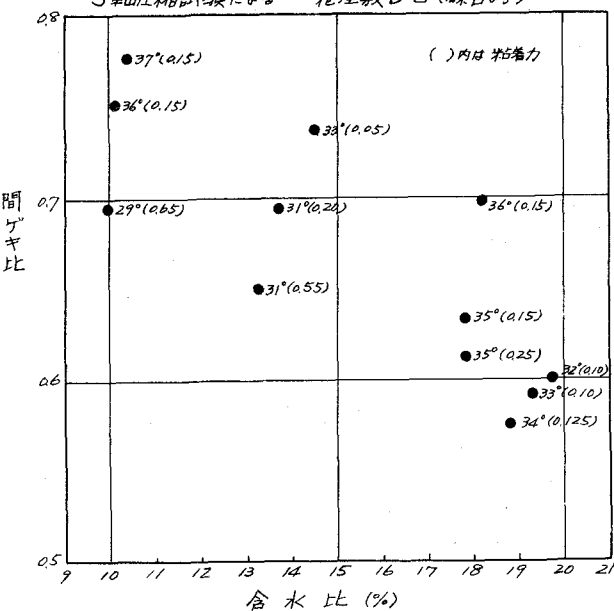


図-2 強度係数と含水比・間ゲキ比

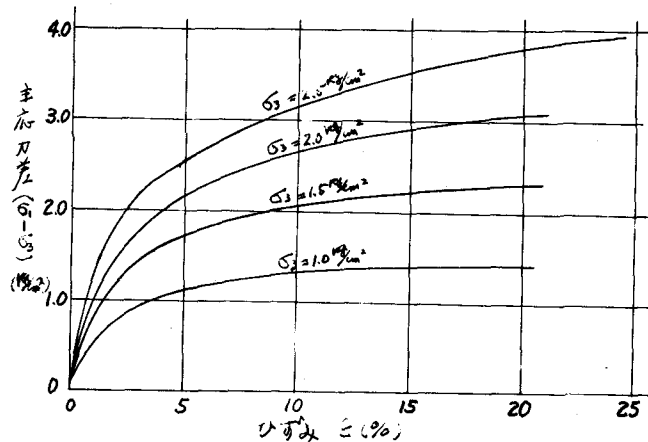


図-3 応力-ひずみ曲線

この結果とは矛盾する。けれども、通常この結果とは逆に、マサ土は水に対する非常に敏感で、このことはマサ土の大きさや欠陥の一因として認識されている。したがって、実験結果と通常の認識とはかい反し一見矛盾していふように見える。けれども、実験結果をよくみるとこれは最終値(せあ)が違うないということがで、ひずみ量の変化に対する抵抗値は、含水比、間ゲキ比の程度に大きく影響を受けるので、順次説明を行って行く。図-3 は、応力-ひずみ曲線の一例である。このひずみ曲線から、同一ひずみ量のモールの円を描き、各ひずみの中綫を描くと図-4 のようになる。图からわかるように、破壊にいたるまでの各ひずみにおける中綫は、垂直応力が大きくなるほど

地中線の勾配は小さくなる。この図から、各側圧におけるひずみ量の中線の摩擦角(中)を測り、図示すると図-5のようになる。この図から、側圧が大となればなるほど、小さいひずみ量で摩擦力が大きく働くことがわかる。このことは、側圧による拘束力の影響で、側圧が低い場合、横方向のひずみ量が大きいため、土粒子の移動運動量(モービライズ量)も大きくなる。したがって、側圧が大きい場合にくらべ、土粒子の移動運動量が大きいため、比較的初期ひずみのときから、粘着力、こうがり摩擦力およびすべり摩擦力が大きく作用し、あるひずみ量をこすと土粒子の移動運動形態はほぼ定常となり、抵抗摩擦角の大きさもほとんど変わらない。

一方、側圧が大きい場合は、拘束力が大きくするので、横方向のひずみ量が小さく、側圧が小さい場合に比べ、土粒子の移動量が小さく、また破壊にいたるまで土粒子の運動形態も終始異なっているものと考えられる。そのため、供試体の破壊にいたるまで、こうがり摩擦、すべり摩擦が順次増大し、粘着力もあるひずみまで増加する。また、側圧の大きい場合、初期のひずみにおいては、摩擦力のうちすべき摩擦の方が、こうがり摩擦よりも大きいと考えられる。このように上述のこととは、

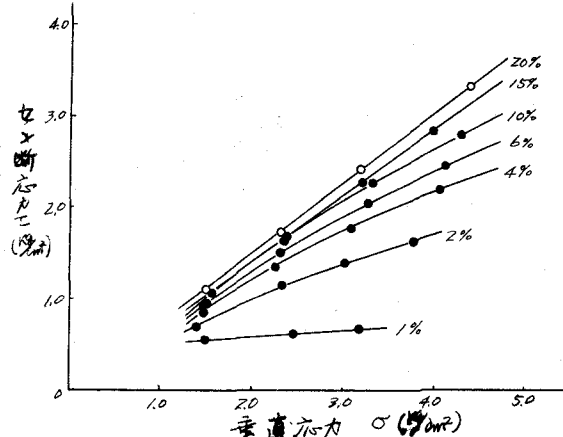


図-4 各ひずみにおける中線

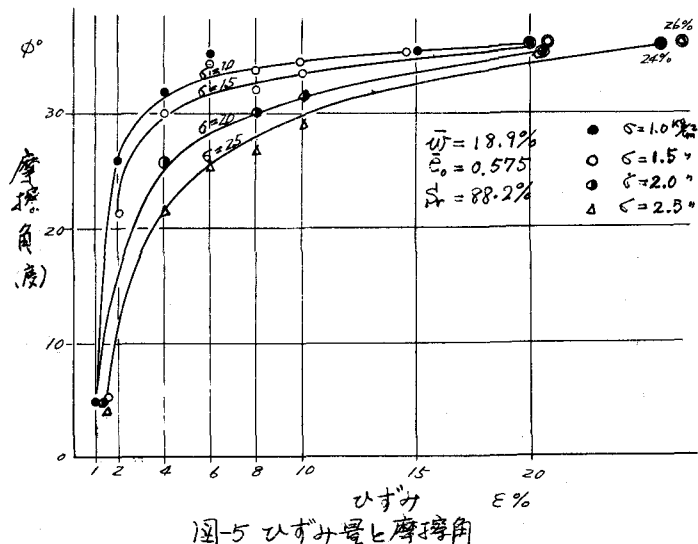
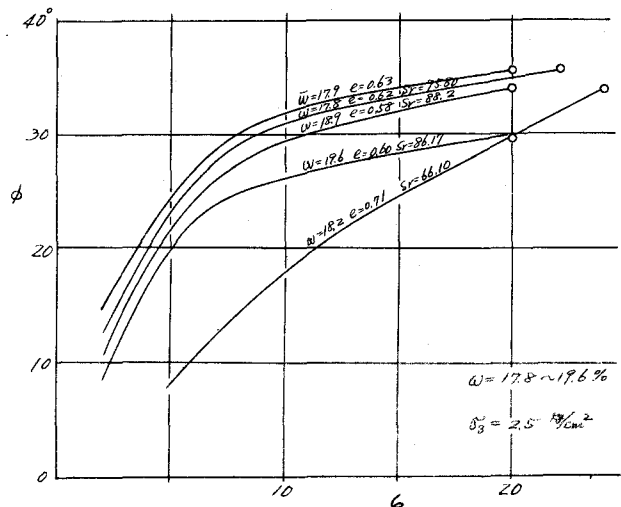


図-5 ひずみ量と摩擦角



III - 1 - 3 図-6 ひずみ量と摩擦角

ダイレタンシーが大きく作用する  
といふことである。

つぎに、間ゲキ比が異なる場合、  
間ゲキ比が大きいものほど摩擦力  
が初期から急激に効き、間ゲキ比  
が大きいものは比較的摩擦力は順次作  
用する。また、同一側圧で同じ程度の  
間ゲキ比において、含水比が  
異なる場合を図-7に示すと、含  
水比の低いものほど、高いものに  
くらべ摩擦力がはやく作用する。

最後に摩擦力と粘着力のひずみに  
対する相互関係を説明するため、粗面を板の上に粗面を

材料をのりつけで簡単な模型を考える。この材料  
に、重平方向のせん断応力をかけると図-8のようにて  
ン断応力が小さく、ひずみ量の小さい時は、粘着力が急  
激に大きく作用し、摩擦力はしつづつ増大する。つづいて、あるひずみ量に達すると、粘着力は増大から減少へ  
と向い、摩擦力がせん断抵抗値の主力となる。マサ土  
を普通のシルト質土に比較した場合、粘着力とひずみの  
関係を考えると、図-9のようだ。マサ土は破壊時  
の粘着力よりもかなり大きな値をもつていいが、普通  
の土にくらべ、非常にひずみに対し弱く、そのことは  
まだみださない試料を採取するときにも考慮されるよう  
である。

## 5. あとがき

実際の設計にあたって、前述したとおり試験時の最大値となることは、ひずみの見地から工学的に問題がある。したがって、いかにしてひずみの抵抗値を実際上の破壊ひずみ以下が、この問題のカギとなる。また、  
3種試験のひずみは軸ひずみで、実際に現場でおこ  
るせん断破壊のひずみ形態とは多くの場合異なり、その間の調整にも問題がある。これらの  
ことを究明するためには、新しい方法でさうして実験を行わねばならない。

## 参考文献

- 1). 松尾新一郎、福田謙、西田一彦(1968)マサ土のコンシステンシーと工学的性質について、昭和43年度土木学会講演概要集 P.P. 173-175

